

# Simulation of VLF chorus emissions in the magnetosphere and comparison with THEMIS spacecraft data\*

A. G. Demekhov

*Institute of Applied Physics, Nizhny Novgorod, Russia*

U.Taubenschuss

*Swedish Institute of Space Physics, Uppsala, Sweden*

O. Santolik

*Institute of Atmospheric Physics, Prague, Czech Republic*

\*

IKI 2015

Moscow

## Содержание

- Введение. Основные параметры хоров в модели лампы обратной волны!
- Данные ТНЕМIS и выбор параметров для расчета
- Сравнение характеристик дискретных элементов в расчетах и наблюдениях
- Выводы

## Хоровые излучения: модель лампы обратной волны (ЛОВ)

(гиро-ЛОВ = абсолютная циклотронная неустойчивость)

**Нужна «ступенька» в пространстве скоростей**

- Длина области генерации  $\Delta = \omega - \omega_B - kv_{\parallel} = 0$ ;  $kv_{\parallel} < 0$

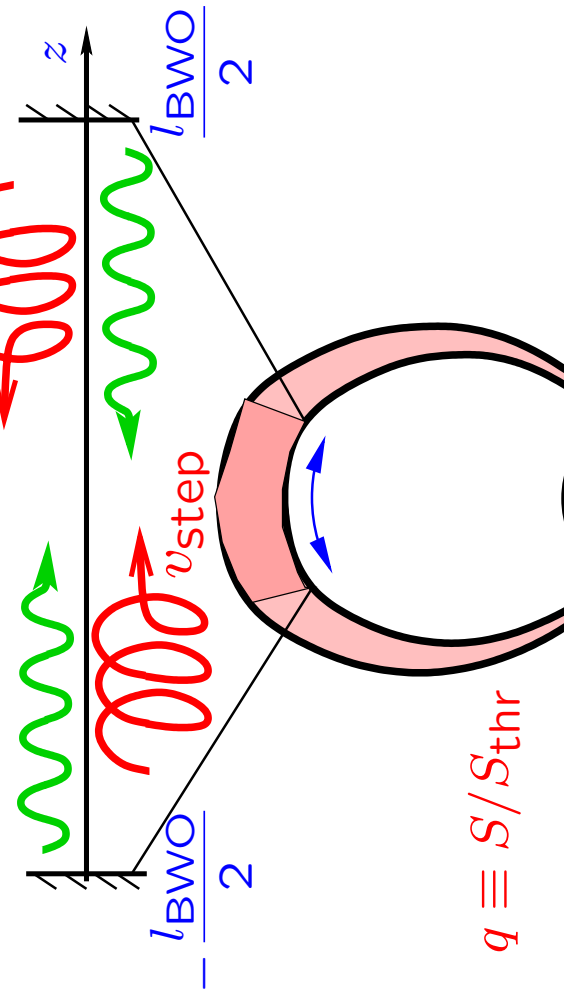
(размер источника)

$$l_{\text{BWO}} \approx (\lambda R_E^2 L^2)^{1/3} \sim 2000 \text{ км}$$

- характерный временной масштаб  $T_{\text{BWO}} \approx l_{\text{BWO}} \left( \frac{1}{v_g} + \frac{1}{v_{\text{step}}} \right) \sim 0.03 \text{ с}$

$$\gamma_{\text{BWO}} \approx \frac{\pi}{T_{\text{BWO}}} (q^{1/2} - 1) \sim 200 \text{ с}^{-1}, \quad q \equiv S/S_{\text{thr}}$$

• инкремент неустойчивости



• характерная амплитуда

$$\Omega_{\text{tr}}^2 = \frac{ekV_{\perp}B_{\text{W}}}{mc} \approx 10 \gamma_{\text{BWO}}^2, \text{ отсюда: } B_{\text{W}} \approx \frac{10mc}{ekV_{\perp}} \gamma_{\text{BWO}}^2 \sim 100 \text{ нТл}$$

• скорость дрейфа частоты

$$\frac{\Delta f}{\Delta t} \sim \frac{\Omega_{\text{tr}}^2}{4\pi^2} \approx 0.3 \gamma_{\text{BWO}}^2 \sim 1.2 \cdot 10^4 \text{ Гц/с} \approx 0.3 \frac{\pi^2}{T_{\text{BWO}}^2} (q^{1/2} - 1)^2$$

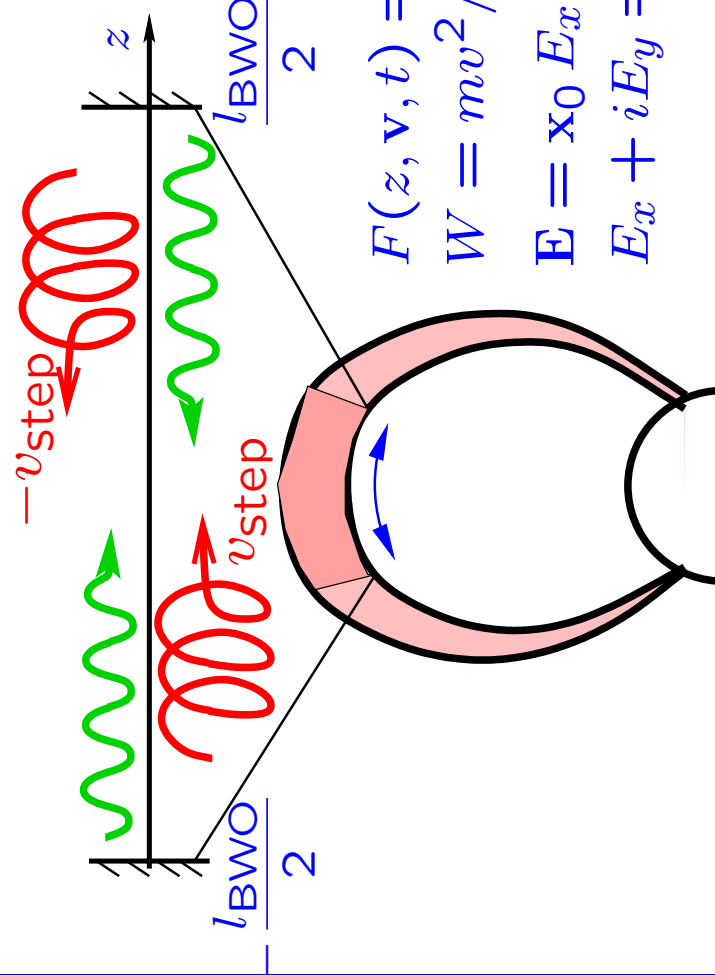
(Trakhtengerts, 1995; 1999; Trakhtengerts et al., 2004; cp.  $df/dt$  c Omura et al., 2008)

## Magnetospheric backward-wave oscillator: basic equations

characteristic scales:

$$l_{\text{BWO}} = (\lambda R_E^2 L^2)^{1/3} \ll R_E L$$

$$T_0 = l_{\text{BWO}}(v_{\text{step}}^{-1} + v_g^{-1})$$



$$\frac{\partial A}{\partial t} + vg \frac{\partial A}{\partial z} = \frac{2\pi c}{vg} J; \quad J := -e \int F v_\perp e^{i\varphi} d^3 \mathbf{v}$$

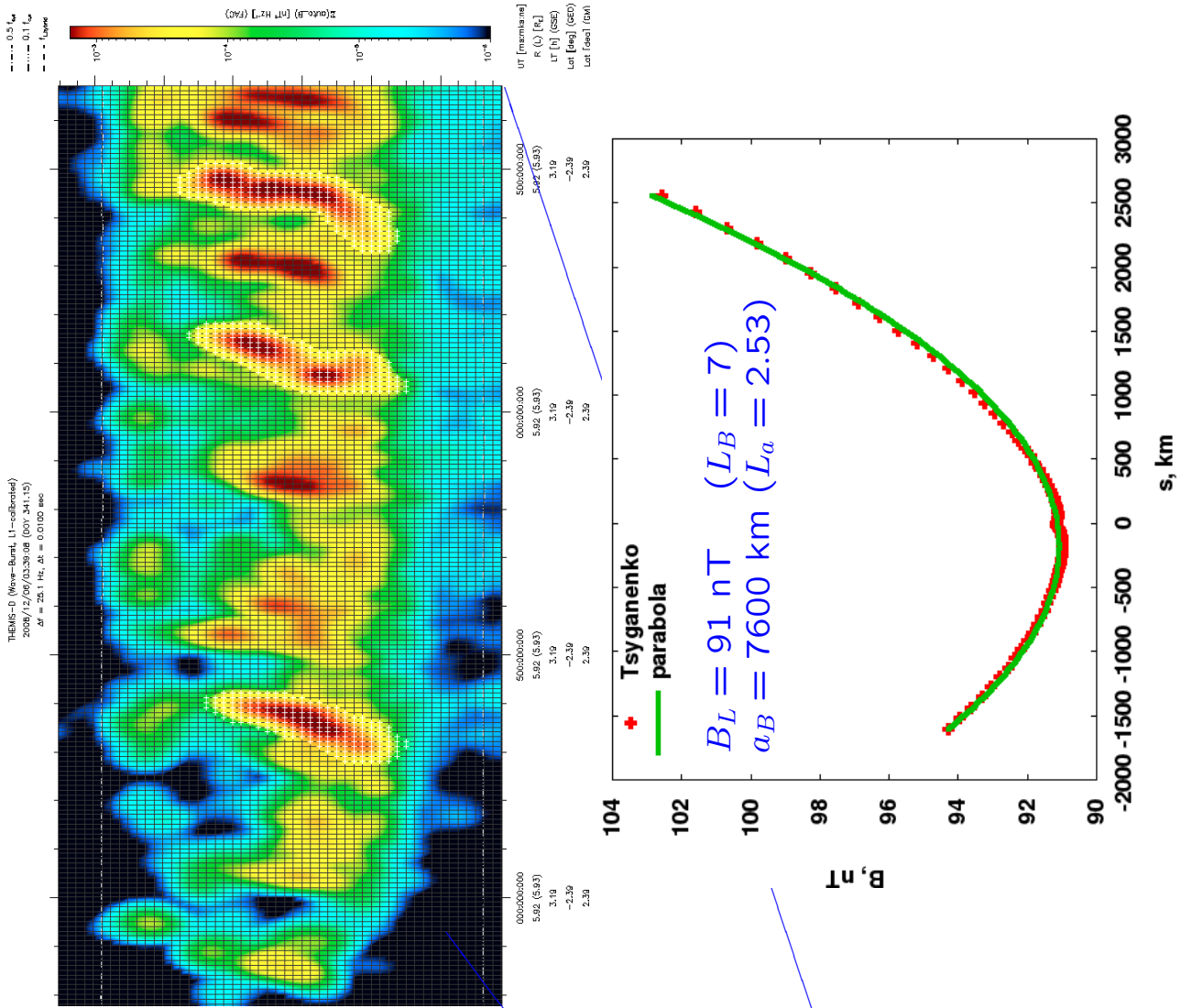
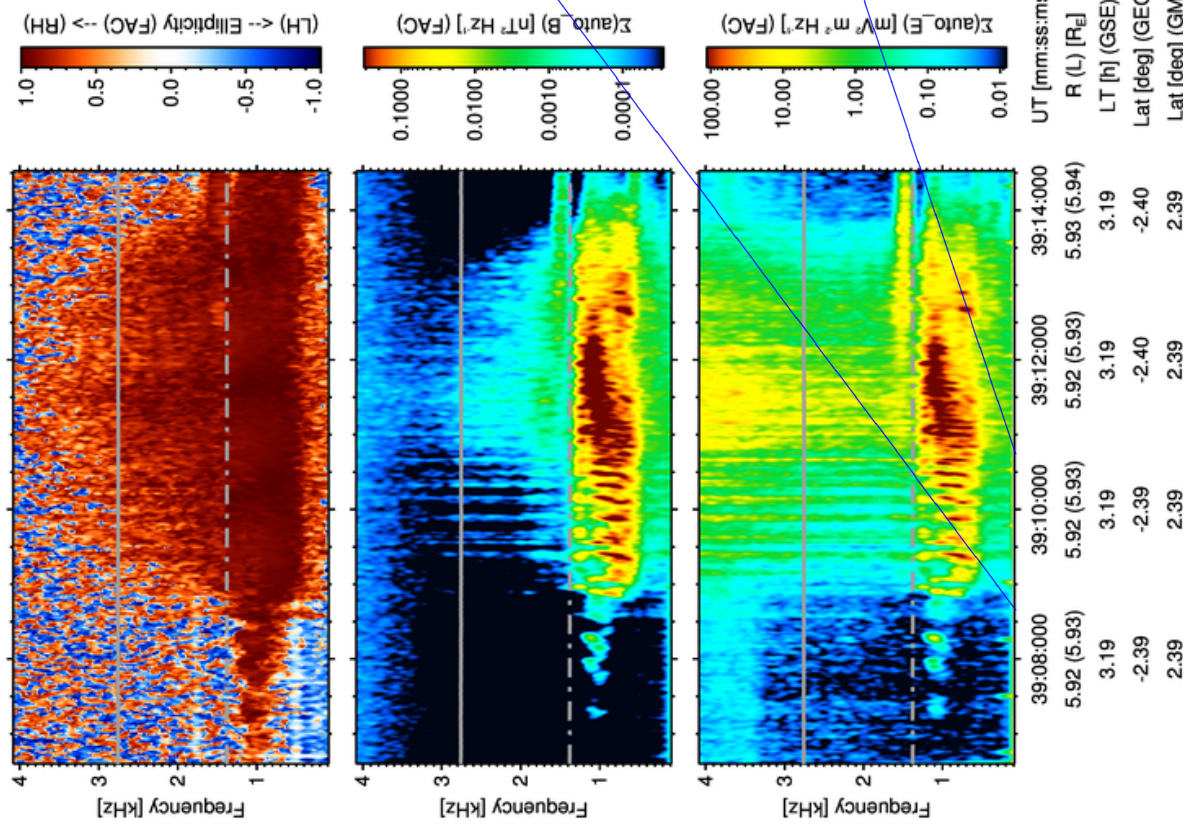
$$\frac{\partial F}{\partial t} + v_\parallel \frac{\partial F}{\partial z} = \frac{e}{m} \left( \mathbf{E} + \frac{1}{c} [\mathbf{v} \times \mathbf{B}] \right) \frac{\partial F}{\partial \mathbf{v}}$$

Simplification:  $F_0 = \text{step}(v_{\parallel 0 \text{ eq}} + V_*)$

$$F \simeq F_0 + \Phi(\varphi, z, t) \cdot \delta(v_{\parallel 0 \text{ eq}} + V_*) \cdot f_\perp(I)$$

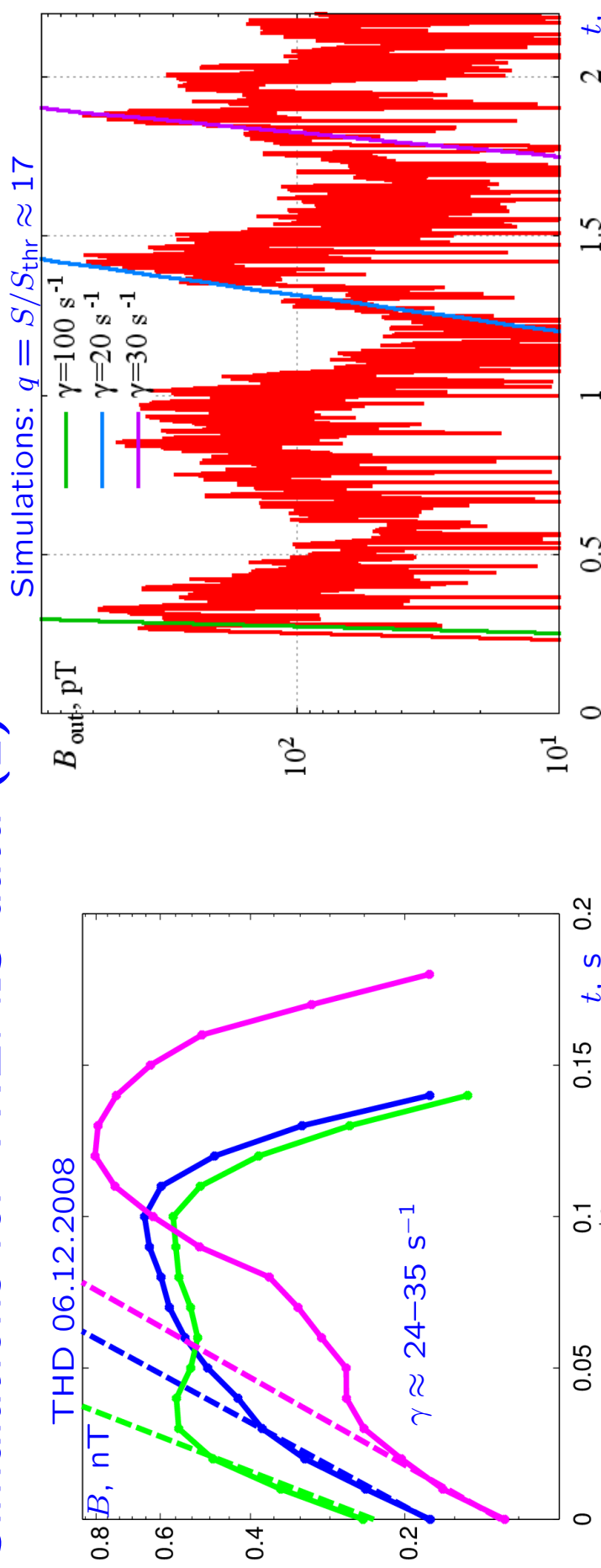
# Simulations for THEMIS data (1)

THD 06.12.2008



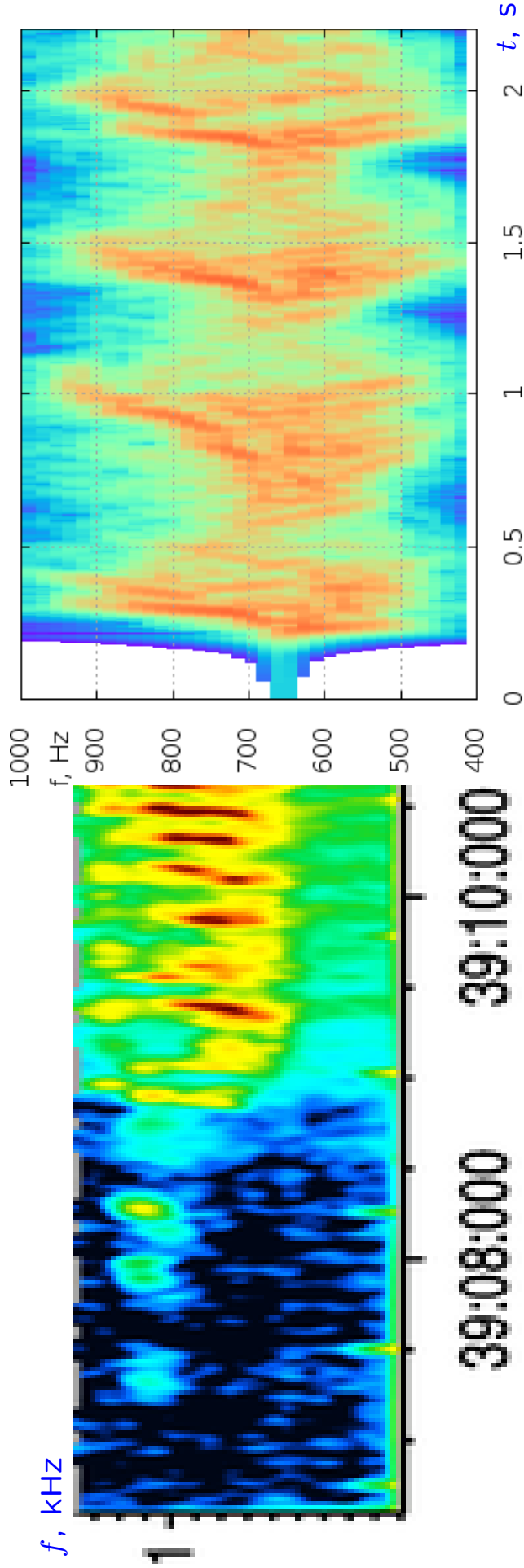
PAH

## Simulations for THEMIS data (2)



- Data:  $L = 7$ ,  $N_c \approx 5 \text{ cm}^{-3}$ ,  $f/f_B \approx 0.25$
- Choosing  $q = S/S_{\text{thr}} \approx 17$  we obtain the amplitude approximately matching the measured ones
- In this case, the simulated growth rate also approximately matches the measured one
- Note that the purely linear growth rate ( $\gamma \sim 100 \text{ s}^{-1}$ ) is 3–5 times larger than the growth rate of subsequent elements

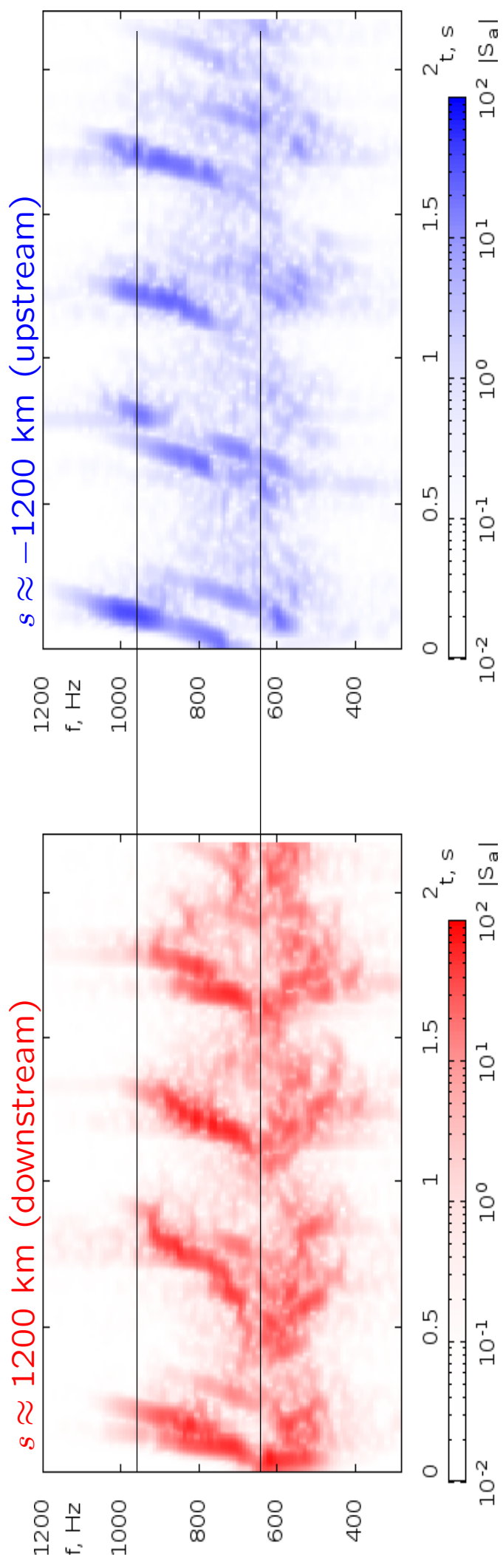
## Simulations for THEMIS data (3)



- Simulated and observed chorus elements have similar frequency-time structure
- The interval between the elements is about twice as smaller for the observed chorus than for the simulated signals

## Simulations for THEMIS data (4)

Consider the spectra of waves upstream and downstream of equator



Simulation results show that wave spectra differ **downstream** and **upstream** of the equator:

upstream the frequency is higher and the elements are weaker.

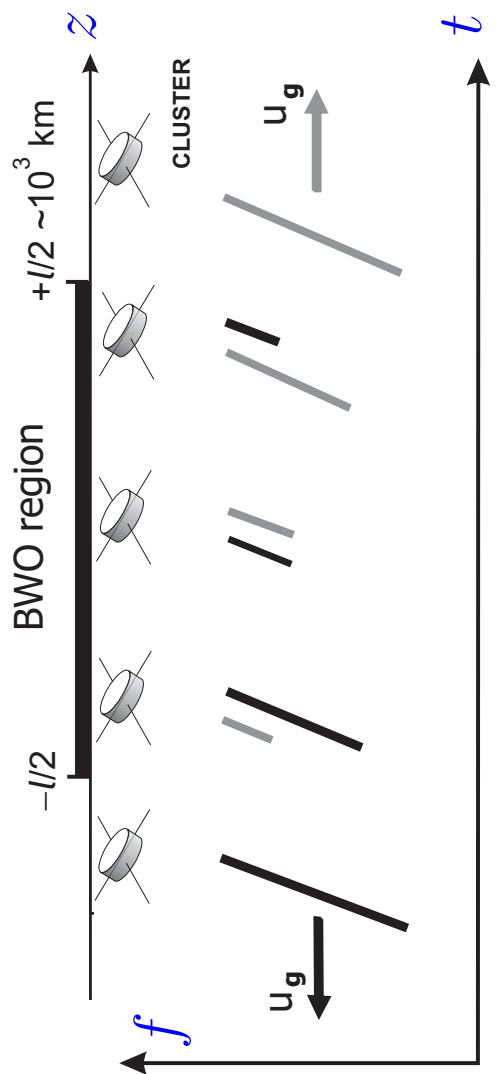
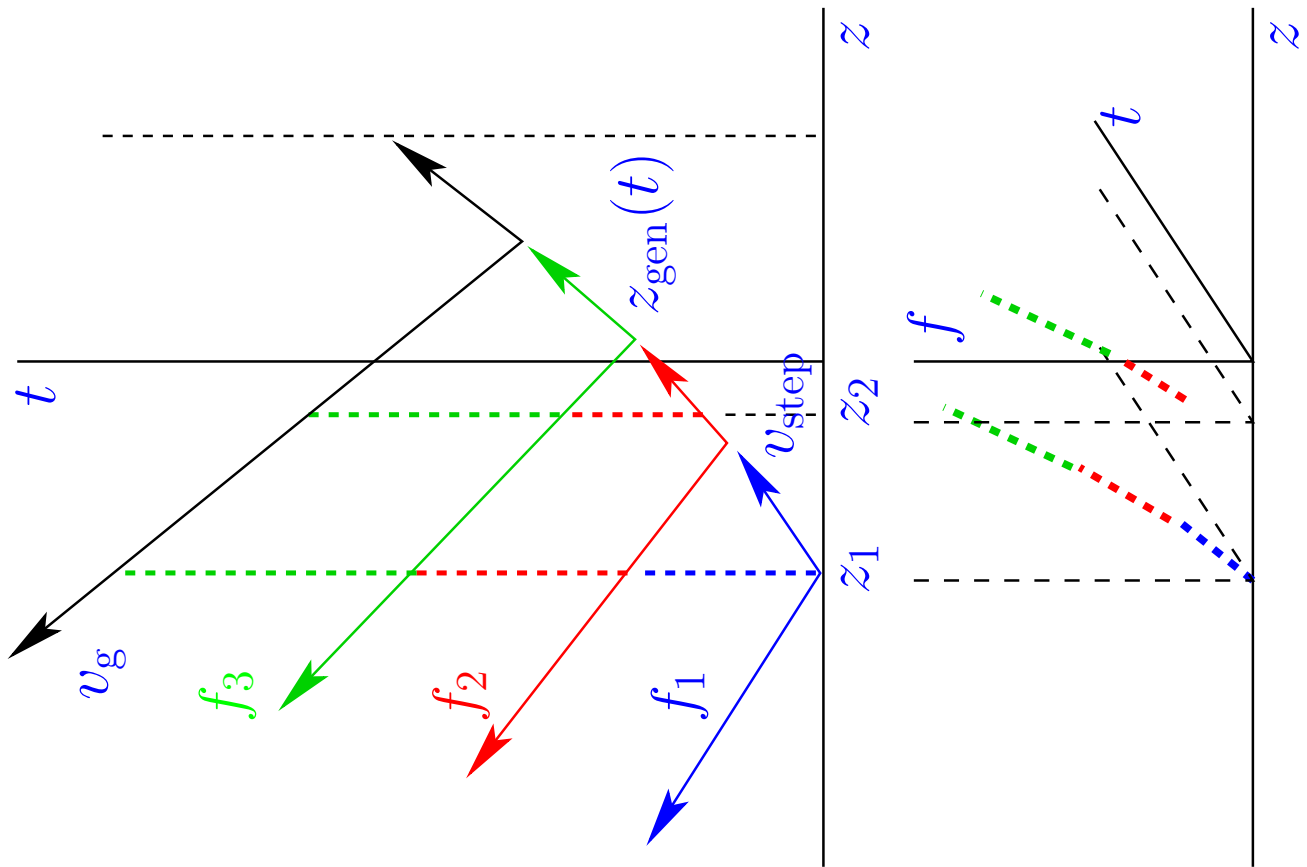
This is due to the evolution of the electron distribution function (“step” motion) while electrons move in the generation region.

## Формирование хорового элемента: качественная картина

$$\frac{dv_{\text{step}}}{dt} \approx -\frac{\Omega_{\text{tr}}^2}{2\pi k} - \frac{v_{\perp}^2}{2B} \frac{dB}{dz}$$

$$\omega_H(z_{\text{gen}}) - \omega = kv_{\text{step}}(z_{\text{gen}})$$

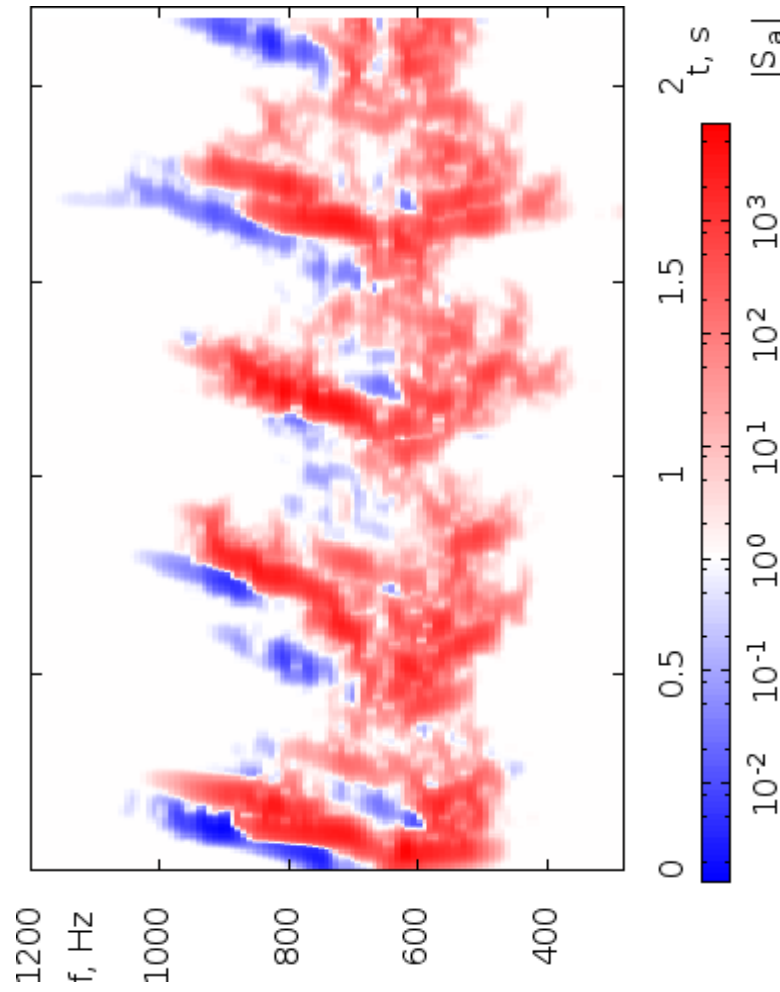
$$t(\omega, z) = \int_z^{z_{\text{gen}}} \frac{d\xi}{v_{\text{step}}(\xi)} + \int_z^{z_{\text{gen}}} \frac{d\xi}{v_g(\omega, \xi)}$$



(Trakhtengerts et al., 2007)

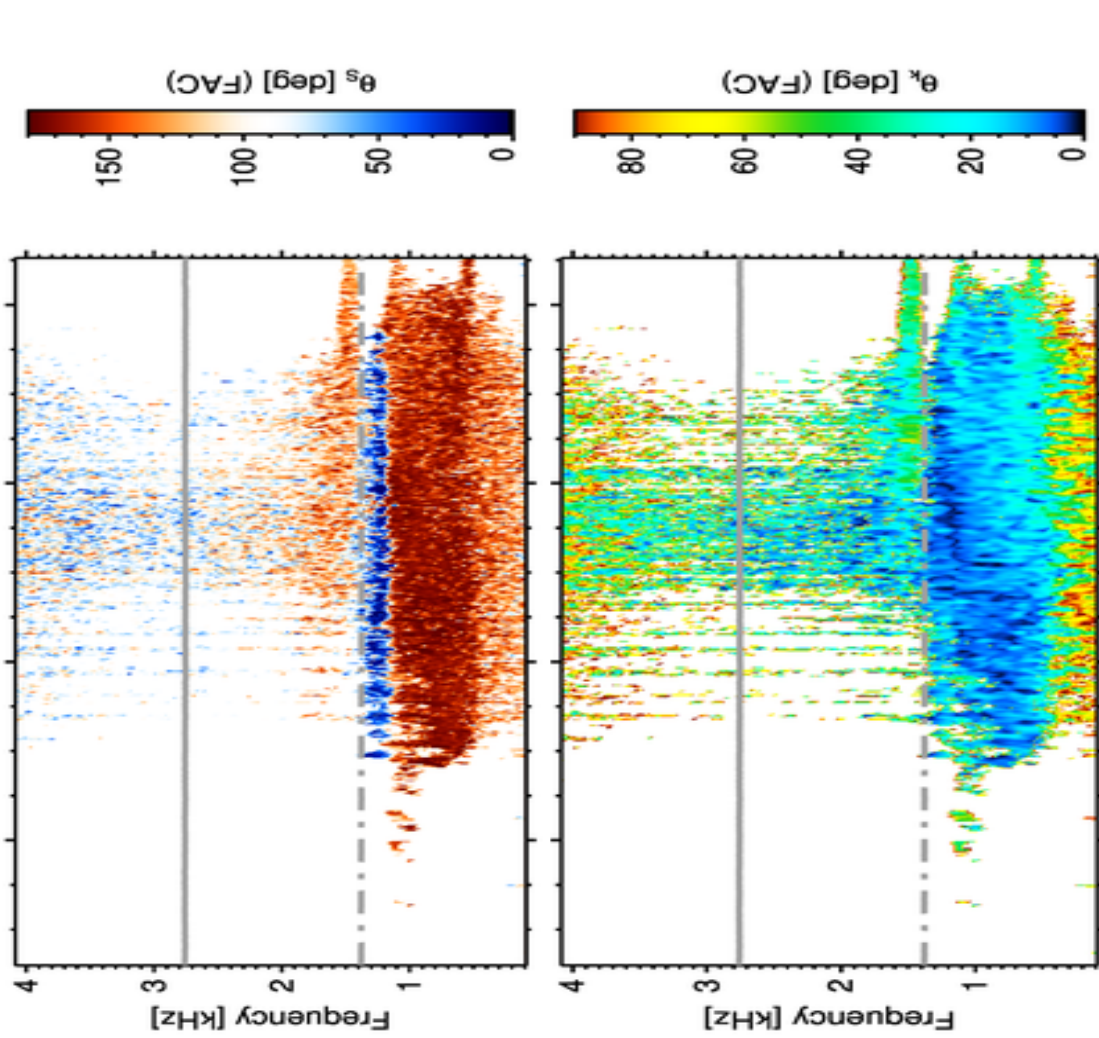


## Simulations for THEMIS data (5)



Combined picture for both wave directions  
at  $s \approx 1200$  km:

If we distinguish the wave packets by  
Poynting flux direction, then we can  
expect higher-frequency and weaker wave  
packets to go towards the equator.



THEMIS data show an upper band of  
oppositely propagating waves just below a  
half of gyrofrequency.

## Выводы

- На примере данных ТНЕМIS показано, что на основе данных об амплитуде хоровых ОНЧ излучений и параметрах фоновой плазмы и магнитного поля можно подобрать параметры модели ЛОВ, обеспечивающих воспроизведение инкремента, скорости дрейфа частоты и характерного интервала следования элементов.
- Продемонстрирована зависимость спектра хоровых элементов от положения точки наблюдения относительно экватора; на этой основе предложено объяснение наблюдавшего различия в направлениях распространения хоровых излучений, одновременно наблюдаемых в соседних частотных полосах.